

Quantum Hall Effect
Shubnikov – de Haas Oscillation

吴熙楠

北京大学物理学院

2021 年 9 月 17 日



① 背景

② 朗道能级

③ SdH 振荡

④ 参考文献

参考文献



① 背景

经典霍尔效应

整数霍尔效应

② 朗道能级

③ SdH 振荡

④ 参考文献

参考文献



① 背景

经典霍尔效应

整数霍尔效应

② 朗道能级

③ SdH 振荡

④ 参考文献

参考文献



Drude 模型

- 电子被限制在 (x, y) 平面上移动，而恒定磁场指向 z 方向。施加恒定电场 E ，会产生恒定的电流密度 J
- $m \frac{d\vec{v}}{dt} = -e\vec{E} - e\vec{v} \times \vec{B} - \frac{m\vec{v}}{\tau}, \vec{J} = -ne\vec{v}$
- $\begin{pmatrix} 1 & \omega_B \tau \\ -\omega_B \tau & 1 \end{pmatrix} \vec{J} = \frac{e^2 n \tau}{m} \vec{E}$
- $\rho_{xx} = \frac{m}{ne^2 \tau}, \rho_{xy} = \frac{B}{ne}$



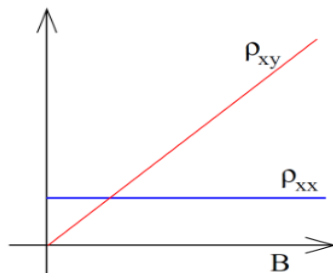


图 1: 经典霍尔效应横向纵向电阻率^[1]



① 背景

经典霍尔效应

整数霍尔效应

② 朗道能级

③ SdH 振荡

④ 参考文献

参考文献



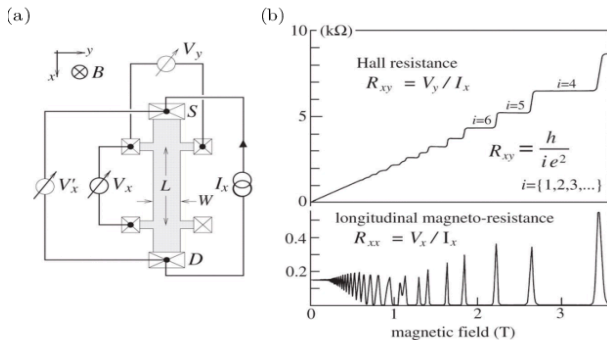


图 2: (a) 霍尔效应装置图 (b) R_{xx} 和 R_{xy} 随 B 大小变化图^[2]



Why?



① 背景

② 朗道能级

③ SdH 振荡

④ 参考文献

参考文献



朗道能级

带电粒子在磁场下的运动

- $\vec{B} = \nabla \times \vec{A} = B\hat{z}$
- $\hat{H} = \frac{1}{2m}(\hat{p} + e\hat{A})^2$
 - Landau gauge : $\vec{A} = xB\hat{y}$ (Why?)
 - $\hat{H} = \frac{1}{2m}(\hat{p}_x^2 + (\hat{p}_y + eB\hat{x})^2)$
- $\psi_{k_y} = e^{ik_y y} f_{k_y}(x)$
- $\hat{H}\psi_{k_y} = \left(\frac{\hat{p}_x^2}{2m} + \frac{m\omega_B^2}{2}(\hat{x} + k_y l_B^2)^2\right)\psi_{k_y}$
 - $\omega_B = \frac{eB}{m}, \quad l_B = \sqrt{\frac{\hbar}{eB}}$
- $E_n = \left(n + \frac{1}{2}\right)\hbar\omega_B$



朗道能级

约束

- 首先让我们把霍尔样品限制在一个有限的矩形区域 $L_x \times L_y$ 。在 y 方向上我们有平面波，所以这等价于这个方向上盒子系统中的粒子。
- 动量量子化 $k_y = \frac{2\pi N}{L_y}$
- 本征函数中心应该在样品内，逻辑约束：
$$x_0 = -k_y l_B^2 \leq L_x \Rightarrow -L_x / l_B^2 \leq k_y \leq 0$$
- $$N = \frac{L_y}{2\pi} \int_{-L_x/l_B^2}^0 dk_y = \frac{eBL_x L_y}{2\pi\hbar} = \frac{\Phi}{\Phi_0}$$



1 背景

2 朗道能级

3 *SdH* 振荡

边缘态

霍尔电导量子化简单理解

样品中的缺陷

4 参考文献

参考文献



1 背景

2 朗道能级

3 SdH 振荡

边缘态

霍尔电导量子化简单理解

样品中的缺陷

4 参考文献

参考文献



SdH 振荡

- 边缘态对于存在势能项的粒子而言不可忽略，因此我们用下图在临近边缘处突然上升的势场模拟边缘势场。

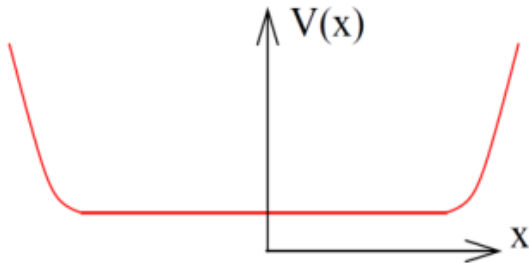


图 3: 样品势场分布^[1]



边缘态下的 *Hamilton* 量

●

$$\begin{aligned}
 H_{k_y} &= \frac{p_x^2}{2m} + \frac{m\omega_B^2}{2}(k_y l_B^2 + x)^2 + x \frac{\partial V}{\partial x} \\
 &= \frac{p_x^2}{2m} + \frac{m\omega_B^2}{2} \left((k_y l_B^2 + \frac{\partial V}{\partial x} \frac{1}{m\omega_B^2}) + x \right)^2 - \frac{1}{2m\omega_B^2} \left(\frac{\partial V}{\partial x} \right)^2 - k_y l_B^2 \frac{\partial V}{\partial x}
 \end{aligned}$$

$$E_n = \hbar\omega_B \left(n + \frac{1}{2} \right) - \frac{1}{2m\omega_B^2} \left(\frac{\partial V}{\partial x} \right)^2 - k_y l_B^2 \frac{\partial V}{\partial x}$$

$$\text{群速度 } v_y = \frac{1}{\hbar} \frac{\partial E}{\partial k_y} = -\frac{1}{eB} \frac{\partial V}{\partial x}$$

$$I_y = -\frac{e}{L_y} \int dk_y \frac{L_y}{2\pi} v_y = \frac{e}{h} \Delta\mu$$

$$V_H = \frac{\Delta\mu}{e} \Rightarrow \sigma_{xy} = \frac{I_y}{V_H} = \frac{e^2}{h}$$

● 当我们将其扩展到多个朗道能级的填充的时候，可以得到

$$\sigma_{xy} = \frac{ie^2}{h}$$



1 背景

2 朗道能级

3 SdH 振荡

边缘态

霍尔电导量子化简单理解

样品中的缺陷

4 参考文献

参考文献



SdH 振荡

二维平面能量密度

- 考虑无磁场二维电子气: $\kappa = \frac{2\pi}{L_x}\vec{i} + \frac{2\pi}{L_y}\vec{j}$, $E = \frac{\hbar\kappa^2}{2m}$
- 能量密度: $G(\kappa)d\kappa = \frac{2\pi\kappa d\kappa}{2\pi/L_x \times 2\pi/L_y}$
- 单位面积态密度: $g(E) = \frac{G(E)}{L_x L_y} = \frac{m}{2\pi\hbar^2}$



SdH 振荡

霍尔电导量子化

- 电子朗道能级差为: $\hbar\omega_B$, 能级简并度为: $g(E) \times \hbar\omega_B = \frac{Be}{h}$
- 电子只能处于分立的能级, 每个能级的电子数为 $\frac{Be}{h}$
- 假设电子填满了 i 个能级, $N = i \times \frac{Be}{h}$, $\sigma_{xy} = \frac{Ne}{B} = \frac{ie^2}{h}$



TKNN 方程

$$\sigma_{xy} = i\hbar \sum_{n \neq m} \frac{\langle m | J_y | n \rangle \langle n | J_x | m \rangle - \langle m | J_x | n \rangle \langle n | J_y | m \rangle}{(E_n - E_m)^2} \quad (21)$$

for the conductivity in the energy eigenstate $|m\rangle$ of a quantum mechanical system was derived, where $|n\rangle$ are eigenstates of the Hamiltonian with energy eigenvalues E_n . This formula must be somewhat modified to describe the conductivity in the many-body ground state; using the current defined in equation (20), the appropriate reformulation for our purposes is

$$\sigma_{xy} = \frac{ie^2}{\hbar} \sum_{E_n < E_F < E_m} \int \frac{d^2\mathbf{k}}{(2\pi)^2} \frac{d^2\mathbf{k}'}{(2\pi)^2} S(u_{\mathbf{k}}^n, u_{\mathbf{k}'}^m), \quad (22)$$

where

$$S(u_{\mathbf{k}}^n, u_{\mathbf{k}'}^m) = \frac{\langle u_{\mathbf{k}}^n | \frac{\partial H_{\mathbf{k}}}{\partial k_x} | u_{\mathbf{k}'}^m \rangle \langle u_{\mathbf{k}'}^m | \frac{\partial H_{\mathbf{k}}}{\partial k_y} | u_{\mathbf{k}}^n \rangle}{(E_\alpha(\mathbf{k}') - E_n(\mathbf{k}))^2} - \frac{\langle u_{\mathbf{k}}^n | \frac{\partial H_{\mathbf{k}}}{\partial k_y} | u_{\mathbf{k}'}^m \rangle \langle u_{\mathbf{k}'}^m | \frac{\partial H_{\mathbf{k}}}{\partial k_x} | u_{\mathbf{k}}^n \rangle}{(E_\beta(\mathbf{k}') - E_n(\mathbf{k}))^2}. \quad (23)$$

Here, the integrals are over the Brillouin zone, while the sum is over pairs of states $u_{\mathbf{k}}^n, u_{\mathbf{k}'}^m$ above and below the Fermi energy respectively. A simple manipulation employing the completeness relation

$$\sum_{\beta} \int \frac{d^2\mathbf{k}'}{(2\pi)^2} |u_{\mathbf{k}'}^{\beta}\rangle \langle u_{\mathbf{k}'}^{\beta}| = 1 - \sum_{\alpha} \int \frac{d^2\mathbf{k}'}{(2\pi)^2} |u_{\mathbf{k}'}^{\alpha}\rangle \langle u_{\mathbf{k}'}^{\alpha}| \quad (24)$$

then yields

$$\sigma_{xy} = \frac{ie^2}{\hbar} \sum_{E_n < E_F} \int \frac{d^2\mathbf{k}}{(2\pi)^2} \left[\langle u_{\mathbf{k}}^n | \frac{\partial u_{\mathbf{k}}^n}{\partial k_y} | \frac{\partial u_{\mathbf{k}}^n}{\partial k_x} \rangle - \langle u_{\mathbf{k}}^n | \frac{\partial u_{\mathbf{k}}^n}{\partial k_x} | \frac{\partial u_{\mathbf{k}}^n}{\partial k_y} \rangle \right], \quad (25)$$

We would like to use the Kubo formula to relate the Hall conductivity to a fundamental topological invariant of the system. To this end, we define the quantity

$$\mathcal{A}_j(\alpha, \mathbf{k}) = -i \langle u_{\mathbf{k}}^{\alpha} | \frac{\partial}{\partial k_j} | u_{\mathbf{k}}^{\alpha} \rangle; \quad (26)$$

it can be seen that this is nothing other than an Abelian connection over the Brillouin zone for the band α , a so-called *Berry connection*, analogous to the gauge field of classical electromagnetism. In particular, we see that under a local phase shift of the Bloch states $u_{\mathbf{k}} \rightarrow e^{i\phi(\mathbf{k})} u_{\mathbf{k}}$ with $\omega(\mathbf{k})$ a generic smooth function, one has

$$\mathcal{A}_j(\alpha, \mathbf{k}) \rightarrow \mathcal{A}_j(\alpha, \mathbf{k}) + \frac{\partial \omega}{\partial k_j}, \quad (27)$$

the expected behaviour for a connection under a $U(1)$ gauge transformations. The curvature tensor corresponding to this connection is

$$\begin{aligned} \mathcal{F}_{ij}(\alpha) &= \frac{\partial \mathcal{A}_j(\alpha, \mathbf{k})}{\partial k^i} - \frac{\partial \mathcal{A}_i(\alpha, \mathbf{k})}{\partial k^j} \\ &= -i \langle \frac{\partial u_{\mathbf{k}}^{\alpha}}{\partial k^i} | \frac{\partial u_{\mathbf{k}}^{\alpha}}{\partial k^j} \rangle + i \langle \frac{\partial u_{\mathbf{k}}^{\alpha}}{\partial k^j} | \frac{\partial u_{\mathbf{k}}^{\alpha}}{\partial k^i} \rangle, \end{aligned} \quad (28)$$

so we see instantly that

$$\sigma_{xy} = \frac{e^2}{\hbar} \sum_{\alpha} \int \frac{dk^x dk^y}{(2\pi)^2} \mathcal{F}_{xy}(\alpha). \quad (29)$$

By an extension of the Gauss-Bonnet theorem, the integral of the Berry curvature $\mathcal{F}_{xy}(\alpha)$ over the Brillouin zone is $2\pi C_{\alpha}$, with C_{α} an exact integer, referred to as the *Chern number*. We thus recover Hall quantization

$$\sigma_{xy} = \frac{e^2}{2\pi\hbar} \sum_{\alpha} C_{\alpha} \in \frac{e^2}{2\pi\hbar} \mathbb{Z}. \quad (30)$$

This argument reveals something deep about the importance of *topological order* in determining the properties of a material.



1 背景

2 朗道能级

3 SdH 振荡

边缘态

霍尔电导量子化简单理解

样品中的缺陷

4 参考文献

参考文献



SdH 振荡

- 稳定情况 ($\tau \rightarrow \infty$): $\rho_{xx} = 0, \rho_{xy} = \frac{B}{ne}$
- 为什么 ρ_{xx} 会出现振荡形式?

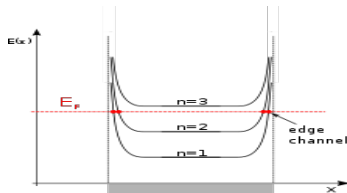
SdH 振荡物理机制

在每个朗道能级中，电子状态数 ($\frac{B_e}{h}$) 随磁场的增加而线性增加。因此，随着磁场的增大，朗道能级会向能量更高的方向移动。当每一个能级通过费米面时，电导就会减小随着能带里面的电子变为自由电子流动起来，这导致材料的电导率呈周期性地振荡。



样品中的缺陷

SdH 振荡

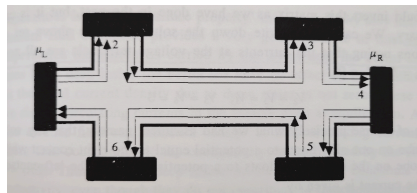


- 费米面 E_F 位于两个朗道能级之间。当能带穿过费米面 E_F 时，它们中的电子就会变得可移动。由于费米面 E_F 位于两个朗道能级之间，电子的散射只发生在向上弯曲的样品边缘 (Why?)，相对应的电子态通常被称为边缘通道。

- Landauer 公式: $G = \frac{2e^2}{h} T$ (Why?)
- Buttiker 公式: $I_p = \sum_q G_{pq}(V_p - V_q)$

- 其中 I_p 为 p 端口的电流， G_{pq} 为从端口 q 到端口 p 的电导， V_p, V_q 为 p, q 的电压



六端口通道 ($T = 2$)

$$\bullet \begin{pmatrix} I_1 \\ I_2 \\ I_3 \\ I_4 \\ I_5 \\ I_6 \end{pmatrix} = \begin{pmatrix} G_c & 0 & 0 & 0 & 0 & -G_c \\ -G_c & G_c & 0 & 0 & 0 & 0 \\ 0 & -G_c & G_c & 0 & 0 & 0 \\ 0 & 0 & -G_c & G_c & 0 & 0 \\ 0 & 0 & 0 & -G_c & G_c & 0 \\ 0 & 0 & 0 & 0 & -G_c & G_c \end{pmatrix} \begin{pmatrix} V_1 \\ V_2 \\ V_3 \\ V_4 \\ V_5 \\ V_6 \end{pmatrix}$$



样品中的缺陷

SdH 振荡

- $I_2 = I_3 = I_5 = I_6 = 0$
- $R_x = \frac{V_2 - V_3}{I} = \frac{V_6 - V_5}{I} = 0$
- $R_H = \frac{V_2 - V_6}{I} = \frac{V_3 - V_5}{I} = G_c^{-1} = \frac{h}{2e^2}$



SdH 振荡

引入杂质

- 我们使用一个在朗道能级附近的随机势模拟杂质的影响

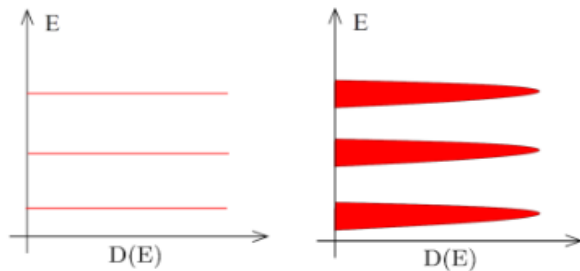
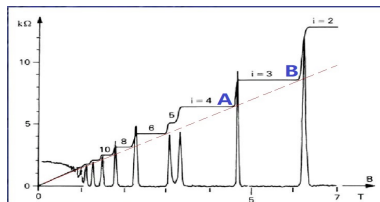
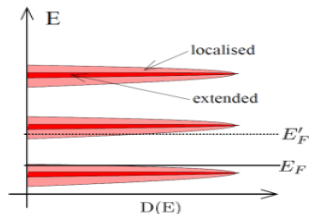


图 4: 纯净样品与有杂质样品的能态分布^[1]



样品中的缺陷

SdH 振荡



SdH 振荡

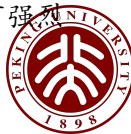
为何 R_{xy} 会有平台或者突变出现

- 假设此时磁场加在 A 的位置，这时电子占满了四个能级，总的电子面密度和不考虑量子效应时相等 (A 点也在红色虚线上)，这时加大磁场，能级简并增大，总电子数占满了前三个能级后，占不满第四个能级，这些“多余”的电子被挤向了“局域态”，它是由缺陷导致的，好像电子被束缚在原子核周围，这些电子不参与导电，这样参与导电的电子突然减少，就会导致图中霍尔电阻的陡然上升
- 杂质使得朗道能级展宽，但是杂质态是局域的，局域态不导电，因此费米能级在展宽的朗道能级内移动时，电导不发生改变，电导平台，平台的宽度和杂质态展宽的朗道能级宽度有关



为何 R_{xx} 会变为 0

- 因为基态和激发态之间存在能隙，在极低温度下，电子既不能获得足够能量跃迁，又不能前往已经占满的低能态，无处可去的电子只能挤在一起，形成所谓的超流，不会受到散射，故不需要额外的电场驱动就能维持电流，类似于光滑平面的匀速运动，所以水平电阻 $R_{xx} = 0$
- 当磁场继续增大至图中 B 点，局域态中的电子已经完全进入前三个能级上，此时的霍尔电阻又和经典情况一样，继续增加磁场，超流态破坏，部分电子又变成局域态，会有强烈散射，水平方向的电阻又不为 0，出现一个峰值



SdH 振荡

Question:

量子霍尔效应中平台在朗道能级吗？



SdH 振荡

Question:

量子霍尔效应杂质越少越好吗？



① 背景

② 朗道能级

③ SdH 振荡

④ 参考文献

参考文献



参考文献

- [1] MENG S. Integer Quantum Hall Effect, 2018.
- [2] ABOUZAID A, DAI J, FEILER S, The Integer Quantum Hall Effect, 2018.



Thanks!

